

30 라운드 SHACAL-2의 불능 차분 공격*

홍석희^{a)†}, 김종성^{a)}, 김구일^{a)}, 이창훈^{a)}, 성재철^{b)‡}, 이상진^{a)}
고려대학교 정보보호기술연구센터^{a)}, 서울시립대학교 수학과^{b)}

Impossible Differential Attack on 30-Round SHACAL-2

Seokhie Hong^{a)†}, Jongsung Kim^{a)}, Guil Kim^{a)}, Changhoon Lee^{a)},
Jae-chul Sung^{b)‡}, Sangjin Lee^{a)}

Center for Information of Security of Technologies, Korea University^{a)}
Department of Mathematics, University of Seoul^{b)}

요약

SHACAL-2는 국제 표준 해쉬 알고리즘 SHA-2의 압축 함수에 기반을 둔 최대 512 비트 키 크기를 가지는 256 비트 블록 암호이다. 최근에 SHACAL-2는 NESSIE 프로젝트의 256 비트 블록 암호에 선정되었으며, 현재까지 SHACAL-2의 안전성에 대한 문제점은 제기되지 않았다. 본 논문에서는 불능 차분 공격에 대한 SHACAL-2의 안전성을 논의한다. 본 논문은 두 가지 형태의 14 라운드 불능 차분 특성을 구성한다. 이를 이용하여 512 비트 키를 사용하는 30 라운드 SHACAL-2의 공격을 소개한다. 공격 결과를 요약하면 744개의 선택 평문을 가지고 $2^{495.1}$ 30 라운드 SHACAL-2 암호화 과정의 시간 복잡도로 전수 조사 과정보다 빠른 30 라운드 SHACAL-2의 공격이 가능하다.

ABSTRACT

SHACAL-2 is a 256 bit block cipher with various key sizes based on the hash function SHA-2. Recently, it was recommended as one of the NESSIE selections. Up to now, no security flaws have been found in SHACAL-2. In this paper, we discuss the security of SHACAL-2 against an impossible differential attack. We propose two types of 14 round impossible characteristics and using them, we attack 30 round SHACAL-2 with 512 bit key. This attack requires 744 chosen plaintexts and has time complexity of $2^{495.1}$ 30 round SHACAL-2 encryptions.

Keywords : SHACLA-2, IDC(Impossible differential cryptanalysis), NESSIE, SHA-2

I. 서론

SHACAL-2⁽²⁾는 NESSIE(New European Schemes for Signatures, Integrity, and Encryption) 프로젝트에 제안된 블록 암호로서 H. Handschuh

와 D. Naccache에 의해 설계된 64 라운드 블록 암호이다. 이는 국제 표준 해쉬 알고리즘 SHA-2⁽⁴⁾의 압축 함수에 기반을 두었으며, 최근 NESSIE 프로젝트의 256 비트 블록 암호로 선정되었다.

SHACAL-2⁽²⁾는 블록 암호로서 다음과 같은 몇 가지 이점을 갖는다. 우선 SHACAL-2는 해쉬 함수 SHA-2⁽⁴⁾에 기반을 두고 있기 때문에, 다양한 환경에 적용 가능한 SHA-2의 구현을 공유할 수 있다. 그리고 SHA-2와 SHACAL-2의 분석 과정은 밀접한 관계가 있으므로, SHA-2에 대한 분석 결과는

접수일 : 2004년 3월23일 ; 채택일 : 2004년 5월 27일

* 본 연구는 정보통신부 대학 IT 연구센터 육성·지원 사업의 연구 결과로 수행되었습니다.

† 주저자, hsh@cist.korea.ac.kr

‡ 교신저자, jcsung@uos.ac.kr

SHACAL-2의 안전성을 평가하는데 큰 도움을 줄 수 있다. 현재까지 SHA-2의 안전성에 대한 문제점은 제기되지 않았으며, 이는 SHACAL-2가 안전한 블록 암호라는 신뢰성을 증가 시켜준다.

본 논문에서는 SHACAL-2의 축소 라운드(전체 64 라운드 중 30 라운드)가 불능 차분 공격^[1,3]에 취약할 수 있음을 보인다. 본 논문은 두 가지 형태의 11 라운드 불능 차분 특성과 각각에 3 라운드 비선형 방정식을 결합한 두 가지 형태의 14 라운드 불능 차분 특성을 구성한다. 이를 이용하여 744 선택 평문의 테이터 복잡도와 $2^{195.1}$ 30 라운드 SHACAL-2 암호화 과정의 시간 복잡도를 가지고 30 라운드 SHACAL-2를 공격한다.

II. SHACAL-2 불능 암호의 소개

SHACAL-2⁽²⁾는 다양한 키 길이(최대 512 비트)를 가지는 256 비트 블록 암호이다. 이는 NIST에 의해 소개된 국제 표준 해쉬 함수 알고리즘 SHA-2⁽⁴⁾의 압축 함수에 기반을 두고 있다. SHACAL-2 암호화 과정은 다음과 같다.

256 비트 평문은 여덟 개의 32 비트 워드 A, B, C, D, E, F, G, H 로 분할된다. 32 비트 워드 X^i 를 i 번째 라운드 입력 값이라 하면, 평문 P 는 $A^0, B^0, C^0, D^0, E^0, F^0, G^0, H^0$ 으로 표현되며, 64 라운드 과정을 거친 암호문은 $A^{64}, B^{64}, C^{64}, D^{64}, E^{64}, F^{64}, G^{64}, H^{64}$ 된다. i 번째 라운드 암호화 과정은 다음과 같다.

$$T_1^{i+1} = H^i + \sum_1(E^i) + Ch(E^i, F^i, G^i) + K^i + W^i \quad (1)$$

$$T_2^{i+1} = \sum_0(A^i) + Maj(A^i, B^i, C^i) \quad (2)$$

$$H^{i+1} = G^i \quad (3)$$

$$G^{i+1} = F^i \quad (4)$$

$$F^{i+1} = E^i \quad (5)$$

$$E^{i+1} = D^i + T_1^{i+1} \quad (6)$$

$$D^{i+1} = C^i \quad (7)$$

$$C^{i+1} = B^i \quad (8)$$

$$B^{i+1} = A^i \quad (9)$$

$$A^{i+1} = T_1^{i+1} + T_2^{i+1} \quad (10)$$

$+$ 는 법 2^{32} 덧셈을 의미하며, W^i 는 32 비트 라운드 키, K^i 는 32 비트 라운드 상수 값이다(각 라운드 상수 값은 [4]를 참조). 위에 정의된 i 번째 라운드 암호화 과정에 사용하는 함수는 다음과 같다.

$$\begin{aligned} Ch(X, Y, Z) &= (X \& Y) \oplus (\neg X \& Z) \\ Maj(X, Y, Z) &= (X \& Y) \oplus (X \& Z) \oplus (Y \& Z) \end{aligned}$$

$$\Sigma_0(X) = S_2(X) \oplus S_{13}(X) \oplus S_{22}(X)$$

$$\Sigma_1(X) = S_6(X) \oplus S_{11}(X) \oplus S_{25}(X)$$

$\neg X$ 는 32 비트 워드 X 의 보수를 의미하며, $S_i(X)$ 는 32 비트 워드 X 의 i 비트 오른쪽 순환을 의미한다.

한편, 성질 $X - Y = X + (2^{32} - 1 - Y) + 1 = X + (\neg Y) + 1$ 을 이용하여, $i+1$ 번째 라운드 복호화 과정을 다음과 같이 나타낼 수 있다.

$$\begin{aligned} T_1^{i+1} &= A^{i+1} - \sum_0(B^{i+1}) - Maj(B^{i+1}, C^{i+1}, D^{i+1}) \\ &= A^{i+1} + (\neg \sum_0(B^{i+1})) + (\neg Maj(B^{i+1}, C^{i+1}, D^{i+1})) + 2 \end{aligned} \quad (11)$$

$$\begin{aligned} H^i &= T_1^{i+1} - \sum_1(F^{i+1}) - Ch(F^{i+1}, G^{i+1}, H^{i+1}) - K^i - W^i \\ &= T_1^{i+1} + (\neg \sum_1(F^{i+1})) + (\neg Ch(F^{i+1}, G^{i+1}, H^{i+1})) \\ &\quad + (\neg K^i) + (\neg W^i) + 4 \end{aligned} \quad (12)$$

$$G^i = H^{i+1} \quad (13)$$

$$F^i = G^{i+1} \quad (14)$$

$$E^i = F^{i+1} \quad (15)$$

$$D^i = E^{i+1} - T_1^{i+1} = E^{i+1} + (\neg T_1^{i+1}) + 1 \quad (16)$$

$$C^i = D^{i+1} \quad (17)$$

$$B^i = C^{i+1} \quad (18)$$

$$A^i = B^{i+1} \quad (19)$$

SHACAL-2의 키는 최대 512 비트이며, 512 비트 보다 작은 키에 대해서는 0 비트 스트링을 패딩하여 총 512 비트를 생성한 후 사용한다. 하지만

SHACAL-2에서 128비트보다 작은 키의 사용은 지원한다.

512 비트 키 스트링을 $W = [W^0 \parallel W^1 \parallel \dots \parallel W^{15}]$ 와 같이 표시하면, 2048 비트 키로의 확장 과정은 다음과 같다.

$$\begin{aligned} W^i &= \sigma_1(W^{i-2}) + W^{i-7} + \sigma_0(W^{i-15}) + W^{i-16}, \quad 16 \leq i \leq 63. \\ \sigma_0(x) &= S_7(x) \oplus S_{18}(x) \oplus R_3(x) \\ \sigma_1(x) &= S_{17}(x) \oplus S_{19}(x) \oplus R_{10}(x) \end{aligned}$$

$R_i(x)$ 는 32 비트 워드 X 의 i 비트 오른쪽 쉬프트를 의미한다.

III. SHACAL-2 불능 차분 특성

본 장에서는 두 가지 형태의 14 라운드 SHACAL-2의 불능 차분 특성을 소개한다. 이 특성은 11 라운드 불능 차분 특성과 3 라운드 비선형 방정식을 결합하여 얻어진다. 먼저 두 가지 형태의 11 라운드 부정 차분 특성을 구성하고, 이 차분 특성이 불능 차분 특성으로 변화될 수 있음을 설명한다. 두 가지 형태의 11 라운드 불능 차분 특성은 첫 번째 라운드 키 W^0 의 최상위 비트 값에 따라 결정된다. 즉, 만약 W^0 의 최상위 비트 값이 0이라면, 두 가지 불능 차분 특성 중 하나가 확률 1로 만족하며, W^0 의 최상위 비트 값이 1이라면, 또 다른 하나의 불능 차분 특성이 확률 1로 만족한다. 다음 과정은 확률 1을 가지는 3라운드 비선형 방정식을 복호화 과정을 통해 유도한다. 3 라운드 비선형 방정식은 두 가지 형태의 11 라운드 불능 차분 특성을 14 라운드 불능 차분 특성으로 확장시킬 수 있다. 차분특성식의 설명에 앞서 본 논문에서 사용하는 표기법을 정의한다. 단, 워드의 비트 위치는 가장 오른쪽 최하위 비트부터 0으로 시작 하며, 원쪽으로 갈수록 증가한다.

- P : 256 비트 평문, $P = (A^0, \dots, H^0)$.
 - P^r : r 번쩨 라운드의 256 비트 입력값, $P^r = (A^r, \dots, H^r)$.
 - x_i^r : X^r 의 i 번쩨 비트,
- $$X^r \in \{A^r, \dots, H^r, W^r, K^r\}$$
- $t_{1,i}^r$: T_1^r 의 i 번쩨 비트.
 - ? : 알 수 없는 32 비트 워드.

- e_i : i 번째 비트를 제외한 모든 자리에 0 값을 갖는 32 비트 워드.
- $\sim e_i$: $0 \sim (i-1)$ 번째 자리의 값은 0, i 번째 자리의 값은 1, $(i+1) \sim 31$ 번째 자리의 값은 알지 못하는 값을 갖는 워드.
- e_{i_1, \dots, i_k} : $e_{i_1} \oplus \dots \oplus e_{i_k}$

3.1. 11 라운드 불능 차분 특성

SHACAL-2는 r 라운드에서 라운드 $r+10$ 까지 확률 1을 가지는 11 라운드 부정 차분 특성이 존재한다. 본 논문에서는 라운드 0-10에 대한 두 가지 형태의 11 라운드 불능 차분 특성을 소개한다. 첫 번째로 라운드 2-10에 대해 확률 1로 만족하는 9 라운드 부정 차분 특성을 설명한다. 확률 1을 가지는 부정 차분 특성은 불능 차분 특성으로 바꾸어 생각할 수 있으며 본 논문은 불능 차분 특성을 이용한다. 두 번째로 라운드 1과 라운드 0의 입력 차분 형태를 구성하는 방법을 설명한다.

표 1은 라운드 2-10에 대한 확률 1을 가지는 9라운드 부정 차분 특성을 나타낸다. 표 1에서 각 행은 XOR 차분을 나타낸다. 표 1은 다음과 같은 차분 성질을 이용하여 쉽게 확인할 수 있다.

성질 1. $X \oplus X^* = e_i$ 라면, \sum_0 의 출력 차분은 다음과 같다.

$$\sum_0(X) \oplus \sum_0(X^*) = e_{i-2(\text{mod } 32), i-13(\text{mod } 32), i-22(\text{mod } 32)}$$

성질 2. $X \oplus X^* = e_i$ 라면, \sum_1 의 출력 차분은 다음과 같다.

$$\sum_1(X) \oplus \sum_1(X^*) = e_{i-6(\text{mod } 32), i-11(\text{mod } 32), i-25(\text{mod } 32)}$$

성질 3. $X \oplus X^* = \sim e_i$, $Y \oplus Y^* = \sim e_j$ 그리고 $i > j$ 라면, 다음을 만족한다.

$$(X+Y) \oplus (X^*+Y^*) = \sim e_i$$

표 1은 $(0, 0, 0, e_{31}, 0, 0, 0, e_{31}) \rightarrow (? , ?, ?, ?, ?, ?, ?, ?, ~)$

e_6) 형태인 9 라운드 부정 차분 특성을 보여준다. 이 부정 차분 특성은 입력 차분 형태가 $(0,0,0,e_{31},0,0,0,e_{31})$ 라면, 9 라운드 후에 여덟 번째 워드의 최하위 비트 출력 차분 Δh_0^{11} 은 0이 됨을 의미하며, 이는 Δh_0^{11} 이 절대로 1이 될 수 없음을 의미한다. 이 사실은 다음과 같은 9 라운드 불능 차분 특성을 가능케 한다. (ΔH^{11} 의 최하위 비트는 1이다)

표 1. 확률 1을 가지는 9-라운드 부정 차분 특성

라운드 (r)	ΔA^r	ΔB^r	ΔC^r	ΔD^r	ΔE^r	ΔF^r	ΔG^r	ΔH^r
입력 ($r=2$)	0	0	0	e_{31}	0	0	0	e_{31}
3	e_{31}	0	0	0	0	0	0	0
4	$\sim e_9$	e_{31}	0	0	0	0	0	0
5	?	$\sim e_9$	e_{31}	0	0	0	0	0
6	?	?	$\sim e_9$	e_{31}	0	0	0	0
7	?	?	?	$\sim e_9$	e_{31}	0	0	0
8	?	?	?	?	$\sim e_6$	e_{31}	0	0
9	?	?	?	?	?	$\sim e_6$	e_{31}	0
10	?	?	?	?	?	?	$\sim e_6$	e_{31}
출력	?	?	?	?	?	?	?	$\sim e_6$

$$(0,0,0,e_{31},0,0,0,e_{31}) \leftrightarrow (? , ? , ? , ? , ? , ? , ? , ? , \Delta H^{11}) \quad (20)$$

본 논문에서는 표 1에 나타나 있는 9 라운드 부정 차분 특성 대신에 (20)에 나타난 9 라운드 불능 차분 특성을 사용한다.

지금부터 라운드 1과 라운드 0의 입력 차분의 구성 방법에 대해 살펴보자. 먼저 라운드 1의 입력 차분을 구성한다. 평문 쌍을 (P, P') 라 표시하면, 2 라운드 차분 $P^2 \oplus P'^2 = (0,0,0,e_{31},0,0,0,e_{31})$ 을 만족하기 위해서, 1 라운드 차분 형태는 최소한 $\Delta A^1 = \Delta B^1 = \Delta E^1 = \Delta F^1 = 0$, $\Delta C^1 = \Delta G^1 = e_{31}$ 을 만족해야 한다. 하지만, $a_{31}^1, b_{31}^1, c_{31}^1, a_{31}^*, b_{31}^*, e_{31}^*$ 의 값을 고려하지 않고, 단지 ΔD^1 그리고 ΔH^1 을 조절하여 P^2, P'^2 의 원하는 차분 특성을 꾸밀 수 없다. 따라서, $\Delta D^1, \Delta H^1$ 뿐만 아니라, $a_{31}^1, b_{31}^1, c_{31}^1, a_{31}^*, b_{31}^*, e_{31}^*$ 값을 조절해야 한다. 조사 결과 여덟 가지 형태의 P^1, P'^1 쌍이 $P^2 \oplus P'^2 = (0,0,0,e_{31},0,0,0,e_{31})$ 을 만족하며, 각 차분 형태와 상태 값은 표 2에 나타나 있다.

다음은 라운드 0의 입력 차분, 즉, 평문쌍 P, P' 의 차분을 구성하는 방법을 설명한다. $a_{31}^1, e_{31}^1, a_{31}^*, e_{31}^*$ 값은 라운드 키 W^0 의 영향을 받고, 그 값들은 표 2

에서와 같이 고정된 값을 갖는다. 따라서, 표 2에 나타난 라운드 1의 입력 차분 및 상태 값을 만족하기 위해서는 P, P' 의 특정 비트 뿐만 아니라, 라운드 키 W^0 의 최상위 비트 w_{31}^0 까지 고려해야 한다. 즉, w_{31}^0 값에 따라 P, P' 의 특정 비트를 고정하여 $P^1 \oplus P'^1$ 의 값이 표 2에서 제시된 8개의 형태 중의 하나가 되게 하는 방법을 사용한다.

표 2. 라운드 1의 여덟 가지 형태의 입력 차분

형태	ΔA^1	ΔB^1	ΔC^1	ΔD^1	ΔE^1	ΔF^1	ΔG^1	ΔH^1	상태
0	0	0	e_{31}	0	0	0	e_{31}	0	$a_{31}^1 = 0, b_{31}^1 = 0, e_{31}^1 = 1, (a_{31}^* = 0, b_{31}^* = 0, e_{31}^* = 1)$
1	0	0	e_{31}	0	0	0	e_{31}	0	$a_{31}^1 = 1, b_{31}^1 = 1, e_{31}^1 = 1, (a_{31}^* = 1, b_{31}^* = 1, e_{31}^* = 1)$
2	0	0	e_{31}	0	0	0	e_{31}	e_{31}	$a_{31}^1 = 0, b_{31}^1 = 0, e_{31}^1 = 0, (a_{31}^* = 0, b_{31}^* = 0, e_{31}^* = 0)$
3	0	0	e_{31}	0	0	0	e_{31}	e_{31}	$a_{31}^1 = 1, b_{31}^1 = 1, e_{31}^1 = 0, (a_{31}^* = 1, b_{31}^* = 1, e_{31}^* = 0)$
4	0	0	e_{31}	e_{31}	0	0	e_{31}	0	$a_{31}^1 = 1, b_{31}^1 = 0, e_{31}^1 = 0, (a_{31}^* = 1, b_{31}^* = 0, e_{31}^* = 0)$
5	0	0	e_{31}	e_{31}	0	0	e_{31}	0	$a_{31}^1 = 0, b_{31}^1 = 1, e_{31}^1 = 0, (a_{31}^* = 0, b_{31}^* = 1, e_{31}^* = 0)$
6	0	0	e_{31}	e_{31}	0	0	e_{31}	e_{31}	$a_{31}^1 = 0, b_{31}^1 = 1, e_{31}^1 = 1, (a_{31}^* = 0, b_{31}^* = 1, e_{31}^* = 1)$
7	0	0	e_{31}	e_{31}	0	0	e_{31}	e_{31}	$a_{31}^1 = 1, b_{31}^1 = 0, e_{31}^1 = 1, (a_{31}^* = 1, b_{31}^* = 0, e_{31}^* = 1)$

차분 $(0, e_{31}, 0, 0, 0, e_{31}, 0, 0)$ 을 갖는 평문쌍 P, P' 는 다음과 같은 조건을 만족한다고 가정하자.

$$A^0 = C^0 = 0, D^0 = 2^{31}, e_{31}^0 = g_{31}^0 = 0$$

$$H^0 = -(\sum_1(E^0) + CK(E^0, F^0, G^0) + K^0)$$

$$A^{*0} = C^{*0} = 0, D^{*0} = 2^{31}, e_{31}^{*0} = g_{31}^{*0} = 0$$

$$H^{*0} = -(\sum_1(E^{*0}) + CK(E^{*0}, F^{*0}, G^{*0}) + K^{*0}) \quad (21)$$

위의 조건을 만족하고 $w_{31}^0 = 0$ 인 경우, P, P' 의 1 라운드 암호화 과정 후 P^1, P'^1 차분은 표 2의 형태 0을 나타낸다. 이유는 다음과 같다.

암호화 과정을 통해 $\Delta B^1 = \Delta D^1 = \Delta F^1 = \Delta H^1 = 0$ 과 $\Delta C^1 = \Delta G^1 = e_{31}^1$ 을 만족한다. 위의 조건 (21)로부터 $T_1^1 = T_1^{*1} = W^0, T_2^1 = T_2^{*1} = 0$ 와 $b_{31}^1 = b_{31}^{*1} = 0$ 을 확인할 수 있다. 또한 이 값을 식 (6)과 (10)에 적용하여 E^1 과 E^{*1} 은 $W^0 + 2^{31}$ 과 같음을 확인할 수 있고(즉, $\Delta E^1 = 0$), A^1 과 A^{*1} 은 W^0 과 같음을 확인할 수 있다(즉, $\Delta A^1 = 0$). 따라서 $w_{31}^0 = 0$ 인 경우, $a_{31}^1 = a_{31}^{*1} = 0$ 과 $e_{31}^1 = e_{31}^{*1} = 1$ 을 만족됨을 알 수

있다. 그러므로 표 2에 나타난 P^1, P^{*1} 의 차분 형태 0을 만족하는 P, P^* 를 구성할 수 있다. 위와 같은 상태를 만족하는 평문쌍 (P, P^*) 의 차분을 D_0 이라고 표시한다. 즉, $P \oplus P^* = D_0$ (표 3).

다음은 차분 $(0, e_{31}, e_{31}, 0, 0, e_{31}, 0, 0)$ 을 갖고, 조건 (22)를 만족하는 평문쌍 P, P^{**} 를 가정하자.

$$\begin{aligned} A^0 &= C^0 = 0, D^0 = 2^{31}, b_{31}^0 = 1, e_{31}^0 = g_{31}^0 = 0, \\ H^0 &= -(\sum_1(E^0) + Ch(E^0, F^0, G^0) + K^0) \\ A^{**0} &= C^{**0} = 0, D^{**0} = 2^{31}, b_{31}^{**0} = 0, e_{31}^{**0} = g_{31}^{**0} = 0, \\ H^{**0} &= -(\sum_1(E^{**0}) + Ch(E^{**0}, F^{**0}, G^{**0}) + K^{**0}) \end{aligned} \quad (22)$$

위의 조건을 만족하고 $w_{31}^0 = 1$ 인 경우, P, P^{**} 의 1라운드 암호화 과정 후 P^1, P^{*1} 차분은 표 2의 형태 4를 만족함을 알 수 있다. 이러한 경우 (P, P^{**}) 의 차분을 D_1 으로 표시한다. 즉, $P \oplus P^* = D_1$ (표 3). 위 두 가지 경우를 정리하면, 조건 (21)과 조건 (22)를 만족하는 차분 D_0 과 D_1 은 각각 1 라운드 암호화 과정 후 표 2의 형태 0과 4를 만족하며, 2 라운드 암호화 과정 후에는 표 1의 입력 차분 값을 만족한다.

표 3. 라운드 0의 두 가지 형태의 입력 차분

차분	ΔA^0	ΔB^0	ΔC^0	ΔD^0	ΔE^0	ΔF^0	ΔG^0	ΔH^0	상태
D_0	0	e_{31}	0	0	0	e_{31}	0	0	(21)
D_1	0	e_{31}	e_{31}	0	0	e_{31}	0	0	(22)

그러므로 한 비트 키 w_{31}^0 의 값에 따라 확률 1로 만족하는 두 가지 형태의 11 라운드 불능 차분 특성을 구성할 수 있다. 두 가지 11 라운드 불능 차분 특성은 다음과 같이 요약할 수 있다.

성질 1-1. $w_{31}^0 = 0$ 인 경우, 차분 D_0 을 만족하는 임의의 평문쌍에 대해서(즉, $P \oplus P^* = D_0$), 11 라운드 암호화 과정 후에 여덟 번째 워드의 최하위 비트는 1이 될 수 없다(즉, $h_0^{11} \oplus h_0^{*11} \neq 1$).

성질 1-2. $w_{31}^0 = 1$ 인 경우, 차분 D_1 을 만족하는 임의의 평문쌍에 대해서(즉, $P \oplus P^{**} = D_1$), 11 라운드 암호화 과정 후에 여덟 번째 워드의 최하위 비트는 1이 될 수 있다(즉, $h_0^{11} \oplus h_0^{*11} = 1$).

운드 암호화 과정 후에 여덟 번째 워드의 최하위 비트는 1이 될 수 없다(즉, $h_0^{11} \oplus h_0^{*11} \neq 1$).

3.2. 14 라운드 불능 차분 특성

본 절에서는 11 라운드 불능 차분 특성에 3 라운드 비선형 방정식을 결합하는 방법을 소개한다. 본 논문에서 사용하는 불능 차분 특성 (20)은 단지 ΔH^{11} 의 최하위 비트 Δh_0^{11} 에 관심이 있다. h_0^{11} 의 값은 복호화 과정을 통해 $A^{14}, B^{14}, \dots, H^{14}, K^{11}, K^{12}, K^{13}, W^{11}, W^{12}, W^{13}$ 의 특정 비트로 표현 가능하다. 즉, h_0^{11} 의 3 라운드 비선형 방정식을 유도할 수 있으며, 이를 이용하여 14 라운드 불능 차분 특성으로 확장한다. 이 과정 중에 최하위 비트의 덧셈은 XOR 연산과 같음을 이용한다. 유도과정은 다음과 같다.

먼저 방정식 (12)를 사용하여 h_0^{11} 은 (23)과 같이 $A^{12}, B^{12}, \dots, H^{12}, K^{11}, W^{11}$ 의 특정 비트의 비선형 방정식으로 표현할 수 있다.

$$\begin{aligned} h_0^{11} = & a_0^{12} \oplus (-((b_2^{12} \oplus b_{13}^{12} \oplus b_2^{12})) \oplus (-((b_0^{12} \& c_0^{12}) \oplus \\ & (b_0^{12} \& d_0^{12}) \oplus (c_0^{12} \& d_0^{12}))) \oplus (-((f_6^{12} \oplus f_{11}^{12} \oplus f_3^{12})) \\ & \oplus (-((f_0^{12} \& g_0^{12}) \oplus (-f_0^{12} \& h_0^{12}))) \oplus (-k_0^{11}) \\ & \oplus (-w_0^{11}) \end{aligned} \quad (23)$$

복호화 과정을 사용하여, h_0^{11} 은 (24)와 같이 $A^3, B^3, \dots, H^3, K^{11}, K^{12}, W^{11}, W^{12}$ 의 특정 비트의 비선형 방정식으로 표현할 수 있다.

$$\begin{aligned} h_0^{11} = & b_0^{13} \oplus (-((c_2^{13} \oplus c_{13}^{13} \oplus c_2^{13})) \oplus (-((c_0^{13} \& d_0^{13}) \oplus \\ & (c_0^{13} \& (e_0^{13} \oplus t_{1,0}^{13}))) \oplus (d_0^{13} \& ((e_0^{13} \oplus t_{1,0}^{13})))) \\ & \oplus (-((g_6^{13} \oplus g_{11}^{13} \oplus g_{25}^{13})) \oplus (-((g_0^{13} \& h_0^{13}) \\ & \oplus ((-g_0^{13}) \& h_0^{12}))) \oplus (-k_0^{11}) \oplus (-w_0^{11}) \end{aligned} \quad (24)$$

비선형 방정식 (24)의 $t_{1,0}^{13}$ 과 h_0^{12} 는 방정식 (11)과 (23)을 사용하여 비선형 방정식 (25)과 (26)으로 표현할 수 있다.

$$\begin{aligned} t_{1,0}^{13} = & a_0^{13} \oplus (-((b_2^{13} \oplus b_{13}^{13} \oplus b_2^{13})) \oplus \\ & (-((b_0^{13} \& c_0^{13}) \oplus (b_0^{13} \& d_0^{13}) \oplus (c_0^{13} \& d_0^{13}))) \end{aligned} \quad (25)$$

$$\begin{aligned}
h_0^{12} = & a_0^{13} \oplus ((b_2^{13} \oplus b_{13}^{13} \oplus b_{22}^{13})) \oplus \\
& (\neg((b_0^{13} \& c_0^{13}) \oplus (b_0^{13} \& d_0^{13}) \oplus (c_0^{13} \& d_0^{13}))) \oplus \\
& (\neg(f_6^{13} \oplus f_{11}^{13} \oplus f_{25}^{13})) \oplus (\neg((f_0^{13} \& g_0^{13}) \oplus \\
& ((\neg f_0^{13}) \& h_0^{13}))) \oplus (\neg k_0^{12}) \oplus (\neg w_0^{12}) \quad (26)
\end{aligned}$$

유사한 방법으로, h_0^{11} 은 (27)과 같이 $A^{14}, B^{14}, \dots, H^{14}, K^{11}, L^{12}, M^{13}, W^{11}, W^{12}, W^{13}$ 의 특정 비트의 비선형 방정식으로 표현할 수 있다.

$$\begin{aligned}
h_0^{11} = & c_0^{14} \oplus ((d_2^{14} \oplus d_{13}^{14} \oplus d_{22}^{14})) \oplus \\
& (\neg((d_0^{14} \& (e_0^{14} \oplus t_{1,0}^{14})) \oplus (d_0^{14} \& (f_0^{14} \oplus t_{1,0}^{13}))) \oplus \\
& ((e_0^{14} \oplus t_{1,0}^{14}) \& (f_0^{14} \oplus t_{1,0}^{13}))) \oplus (\neg(h_6^{14} \oplus \\
& (h_{11}^{14} \oplus h_{25}^{14})) \oplus (\neg((h_0^{14} \& h_0^{13}) \oplus ((\neg h_0^{14}) \\
& \& h_0^{12}))) \oplus (\neg k_0^{11}) \oplus (\neg w_0^{11}) \quad (27)
\end{aligned}$$

비선형 방정식 (27)의 $h_0^{12}, t_{1,0}^{13}, h_0^{13}, t_{1,0}^{14}$ 은 비선형 방정식 (24), (25), (26)을 이용하여 (28), (29), (30), (31)과 같이 표현할 수 있다.

$$\begin{aligned}
h_0^{12} = & b_0^{14} \oplus ((c_2^{14} \oplus c_{13}^{14} \oplus c_{22}^{14})) \oplus (\neg((c_0^{14} \\
& \& d_0^{14}) \oplus (c_0^{14} \& (e_0^{14} \oplus t_{1,0}^{14})) \oplus (d_0^{14} \& ((e_0^{14} \\
& t_{1,0}^{14}))) \oplus (\neg(g_6^{14} \oplus g_{11}^{14} \oplus g_{25}^{14})) \oplus (\neg((g_0^{14} \\
& \& h_0^{14}) \oplus ((\neg g_0^{14} \& h_0^{13}))) \oplus (\neg k_0^{12}) \oplus (\neg w_0^{12}) \quad (28)
\end{aligned}$$

$$\begin{aligned}
t_{1,0}^{13} = & b_0^{13} \oplus ((c_2^{14} \oplus c_{13}^{14} \oplus c_{22}^{14})) \oplus (\neg((c_0^{13} \& d_0^{14}) \oplus \\
& (c_0^{14} \& (e_0^{14} \oplus t_{1,0}^{14})) \oplus (d_0^{14} \& (e_0^{14} \oplus t_{1,0}^{14}))) \quad (29)
\end{aligned}$$

$$\begin{aligned}
h_0^{13} = & a_0^{14} \oplus ((b_2^{14} \oplus b_{13}^{14} \oplus b_{22}^{14})) \oplus (\neg((b_0^{14} \& c_0^{14}) \oplus \\
& (b_0^{14} \& d_0^{14}) \oplus (c_0^{14} \& d_0^{14})) \oplus (\neg(f_6^{14} \oplus f_{11}^{14} \\
& \oplus f_{25}^{14})) \oplus (\neg((f_0^{14} \& g_0^{14}) \oplus ((\neg f_0^{14}) \& h_0^{14}))) \\
& \oplus (\neg k_0^{13}) \oplus (\neg w_0^{13}) \quad (30)
\end{aligned}$$

$$\begin{aligned}
t_{1,0}^{14} = & a_0^{14} \oplus ((b_2^{14} \oplus b_{13}^{14} \oplus b_{22}^{14})) \oplus (\neg((b_0^{14} \& c_0^{14}) \oplus \\
& (b_0^{14} \& d_0^{14}) \oplus (c_0^{14} \& d_0^{14})) \quad (31)
\end{aligned}$$

따라서, h_0^{11} 는 비선형 함수 $NF(A^{14}, B^{14}, \dots, H^{14}, K^{11}, L^{12}, M^{13}, W^{11}, W^{12}, W^{13})$ 로 표현 가능하다(이 함

수를 간단하게 NF^{14} 로 표시한다). 그러므로 14 라운드 SHACAL-2에 대한 불능 차분 특성을 다음과 같이 나타낼 수 있다.

성질 2. $P \oplus P^* = D_0$ 와 $P \oplus P^{**} = D_I$ 을 만족하는 세 개의 평문 (P, P^*, P^{**}) 을 고려하자.

2-1. 만약 $w_{31}^0 = 0$ 라면, 확률 1을 가지고 $NF^{14} \oplus NF^{*14} \neq 1$ 성립한다.

2-2. 만약 $w_{31}^0 = 1$ 라면, 확률 1을 가지고 $NF^{14} \oplus NF^{**14} \neq 1$ 성립한다.

그러므로 w_{31}^0 값에 따라 라운드 0-13에 대한 두 가지 형태의 14 라운드 불능 차분 특성을 구성할 수 있다.

N. 512 비트 키를 사용하는 30 라운드 SHACAL-2의 불능 차분 공격

본 장에서는 앞서 소개한 두 가지 형태의 14 라운드 불능 차분 특성을 이용하여 30 라운드 SHACAL-2의 512 비트 키를 찾는 방법을 설명한다.

(P_i, P_i^*, P_i^{**}) 은 $i=1, \dots, 248$ 에 대해서 $P_i \oplus P_i^* = D_0$ 와 $P_i \oplus P_i^{**} = D_I$ 을 만족하는 세 개의 평문이고, (C_i, C_i^*, C_i^{**}) 는 (P_i, P_i^*, P_i^{**}) 에 대응하는 30 라운드 SHACAL-2의 세 개의 암호문이라고 가정하자. $(NF^{14} \oplus NF^{*14})_i$ 는 P_i^{11} 과 P_i^{*11} 의 여덟 번째 워드의 최하위 비트 차분을, $(NF^{14} \oplus NF^{**14})_i$ 는 P_i^{11} 과 P_i^{**11} 의 여덟 번째 워드의 최하위 비트 차분을 나타낸다. 위의 가정으로부터 각 세 개의 평문 (P_i, P_i^*, P_i^{**}) 는 성질 2를 만족한다.

차분값 ΔNF^{14} 을 알기 위해서 비선형 방정식 (27)의 키 값 w_{31}^0 은 요구되지 않는다. 또한 NF^{14} 값이 아닌 ΔNF^{14} 값을 알기 위해서, 라운드 17의 출력쌍을 안다는 가정 아래 $w_0^{14}, w_1^{14}, \dots, w_{24}^{14}, w_0^{15}, w_1^{15}, \dots, w_{25}^{15}, w_0^{16}, w_1^{16}, \dots, w_{26}^{16}$ 의 키 값만을 요구한다. 따라서 만약 라운드 30 라운드의 암호문쌍을 안다면, 495 비트 키 $W^{29}, W^{28}, \dots, W^{17}, w_0^{16}, w_1^{16}, \dots, w_{25}^{16}, w_0^{15}, w_1^{15}, \dots, w_{26}^{15}, w_0^{14}, w_1^{14}, \dots, w_{24}^{14}, w_0^{13}, w_1^{13}$ 을 추측함으로써

복호화 과정을 통해 $(NF^{14} \oplus NF^{*14})_i$ 와 $(NF^{14} \oplus NF^{**14})_i$ 을 얻을 수 있다. 하지만 키 스케줄 판찰 결과 $W^9, W^{17}, W^{25}, w_3^{14}, w_7^{14}, w_{18}^{14}$ 을 추측하여 w_0^{13} 을 얻을 수 있다. 따라서 총 494 비트 키를 추측하여 성질 2의 여부를 판단할 수 있다.

k_1, k_2, \dots, k_{248} 는 모든 가능한 494 비트 키 값이라고 가정하자. 각각의 k_j 에 대한 모든 $i (=1, \dots, 248)$ 값에 대해서 $(NF^{14} \oplus NF^{*14})_i = 0$ 또는 $(NF^{14} \oplus NF^{**14})_i = 0$ 여부를 테스트한다.

만약 k_j 가 모든 i 에 대해서 $(NF^{14} \oplus NF^{*14})_i = 0$ 을 만족한다면, k_j 와 $w_0^{13} = 0$ 을 키 후보로 저장한다. 반면, 모든 i 에 대해서 $(NF^{14} \oplus NF^{**14})_i = 0$ 을 만족한다면, k_j 와 $w_0^{13} = 1$ 을 키 후보로 저장한다. 모든 과정을 거친 후 키 후보로 저장된 키와 남은 17 비트 키에 대해서 전수조사를 수행한다. 알고리즘 1은 위의 공격과정을 요약한다.

알고리즘 1의 시간 복잡되는 단계 1에 의해 결정된다. 단계 2의 사용되는 키는 단계 1에서 사용되는 2^{494} 의 키에 비해 낮은 비율을 차지하므로, 단계 2의 시간 복잡도는 단계 1에 비해 매우 작다. 그러므로 30 라운드 SHACAL-2에 대한 공격은 744 ($= 3 \cdot 248$) 개의 선택 평문과 약 $\frac{16}{30} \cdot \sum_{i=0}^{247} (2^{494-2-i} \cdot 3)$

$\approx 2^{495.130}$ 라운드 SHACAL-2 암호화 과정을 요구 한다.

알고리즘 1. 30 라운드 SHACAL-2 공격

입력값 : $i = 1, \dots, 248$ 에 대한, 248 개의 세 개의 암호문 (C_i, C_i^*, C_i^{**})

출력값 : 마스터 키

1. $j = 1, \dots, 2^{194}$ 에 대해서

1.1 $i = 1, \dots, 248$ 에 대해서

1.1.1 k_j 를 사용하여 C_i 와 C_i^* 을 복호화 하고 $a_i = (NF^{14} \oplus NF^{*14})_i$ 를 계산한다.

1.1.2 만약 $(a_i = 1)$ 라면, 1.2 단계로 간다.

그렇지 않고 만약 $(a_i = 0)$ $i = 248$ 라면, k_j 와 $w_0^{13} = 0$ 을 저장한다.

1.2 $i = 1, \dots, 248$ 에 대해서

1.2.1 k_j 를 사용하여 C_i 와 C_i^{**} 을 복호화 하고 $b_i = (NF^{14} \oplus NF^{**14})_i$ 를 계산한다.

1.2.2 만약 $(b_i = 1)$ 라면, 1 단계로 간다.

그렇지 않고 만약 $(b_i = 0)$ $i = 248$ 라면, k_j 와 $w_0^{13} = 1$ 을 저장한다.

2. 단계 1 을 통과한 키에 대해서 나머지 17비트와 함께 전수조사를 수행한다.

주의 : 만약 추측한 키가 올바르지 않다면 ΔNF^{14}

값은 랜덤하다고 가정한다. 따라서 단계 1 을 통과하는 495 비트 부분키의 기대값은 $0.5 (= 2^{495-2 \cdot 248})$ 이다. 하지만 구현 결과, 단계 1 을 통과하는 키 후보의 개수는 기대값 이상이었다. W^{14} 의 25 비트를 제외하고 올바르게 추측한 2^{25} 개의 495 비트 키에 약 52.6 개의 키가 단계 1 을 통과 하였고, W^{15} 의 26 비트를 제외하고 올바르게 추측한 2^{26} 개 495 비트 키의 경우 약 9.3 개의 키가, W^{16} 의 26 비트를 제외하고 올바르게 추측한 2^{26} 개 495 비트 키의 경우에 약 4.8 개의 키가 단계 1 을 통과하였다(단계 1 을 통과한 키의 개수는 10번 테스트 결과의 평균값이다). 보조 정리 1 은 단계 1 을 통과하는 키의 개수가 기대값 이상의 수치가 나온 이유를 설명한다.

보조정리 1.

$Z = X + Y, Z^* = X^* + Y^*, X \oplus X^* = e_j, Y = Y^*$ 라고 가정하자(단, X, Y, X^*, Y^* 는 32 비트 워드이다). 그러면 확률 $1/2^k (j+k-1 \leq 31)$ 으로 $Z \oplus Z^* = e_{j+j+1, \dots, j+k-1}$ 이 성립한다.

예를 들어, w_0^{13} 값을 제외하고 495 비트를 올바르게 추측하였다고 가정하자. 틀리게 추측된 한 비트 키는 보조정리 1로부터 확률 2^{-13} 으로 $\Delta NF^{14} = 1$ 을 만족한다. 따라서 올바르지 못한 키에 대해서도 단계 1 을 통과하는 경우가 발생한다. 하지만, W^{17}, \dots, W^{29} 의 특정 비트의 올바르지 못한 키 추측은 ΔNF^{14} 의 값을 랜덤하게 생성한다. 그러므로 거의 대부분의 495 비트 틀린 키는 ΔNF^{14} 값을 랜덤하게 출력하기 때문에 대략 $2^{495.1}$ 30 라운드 SHACAL-2 암호화 과정의 시간 복잡도를 가지고 30 라운드 SHACAL-2 를 공격할 수 있다.

V. 결 론

본 논문은 SHACAL-2의 불능 차분 공격을 소개하였다. 첫 번째로 라운드 키의 한 비트에 영향을 받는 확률 1로 성립하는 두 가지 형태의 11 라운드 SHACAL-2 부정 차분을 이용하여 두 가지 형태의 11 라운드 불능 차분 특성을 구성하였다. 두 번째로 복호화 과정을 통해 확률 1을 가지는 3 라운드 비선

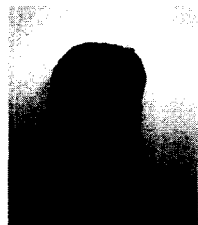
형 방정식을 유도하고, 이를 이용하여 첫 번째 라운드 키의 한 비트에 영향을 받는 두 가지 형태의 14 라운드 불능 차분 특성으로 확장하였다. 이 불능 차분 특성을 사용하여 744 선택 평문의 데이터 복잡도 와 $2^{495.1}$ 시간 복잡도를 가지고 전수조사 보다 빠른 512 비트 키를 가지는 30 라운드 SHACAL-2를 공격할 수 있다.

참 고 문 헌

- [1] E. Biham, A. Biryukov and A. Shamir, *Cryptanalysis of skipjack reduced to 31 rounds using impossible differentials*, Advances in Cryptology-EUROCRYPT'99, LNCS 1592, pp. 12-23,

- Springer-Verlag, 1999.
 [2] H. Handschuh and D. Naccache, *SHACAL : A Family of Block Ciphers*, Submission to the NESSIE project, 2002.
 [3] D.J. Moon, K.D. Hwang, W.I. Lee, S.J. Lee and J.I. Lim, *Impossible Differential Cryptanalysis of Reduced Round XTEA and TEA*, FSE 2002, LNCS 2365, pp.49-60, Springer-Verlag, 2002.
 [4] U.S. Department of Commerce, *FIPS 180-2: Secure Hash Standard*, Federal Information Processing Standards Publication, N.I.S.T., August 2002.

〈著者紹介〉



홍 석 희 (Seok-hie Hong) 정회원

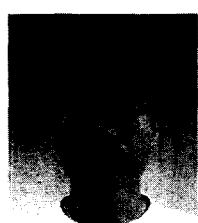
1995년 2월 : 고려대학교 수학과 학사

1997년 2월 : 고려대학교 수학과 석사

2001년 2월 : 고려대학교 수학과 박사

2000년 8월~현재: 고려대학교 정보보호기술연구센터 연구원

〈관심분야〉 정보보호 암호 알고리즘, 비밀키 암호 설계 및 분석, 패스워드 기반 프로토콜



김 종 성 (Jong-Sung Kim)

2000년 8월 : 고려대학교 수학과 학사

2002년 8월 : 고려대학교 수학과 석사

2002년 8월~현재 : 고려대학교 정보보호대학원 박사 과정

〈관심분야〉 블록 암호 및 스트림 암호의 분석과 설계

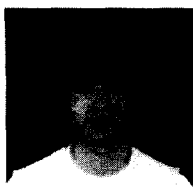


김 구 일 (Gu-il Kim)

2002년 2월 : 고려대학교 수학과 학사

2002년 9월~현재 : 고려대학교 정보보호대학원 석사 과정

〈관심분야〉 블록 암호 및 스트림 암호의 분석과 설계

**이 창 훈 (Chang-hoon Lee)**

2001년 2월 : 한양대학교 수학과 학사

2003년 2월 : 고려대학교 정보보호대학원 석사

2003년 3월~현재 : 고려대학교 정보보호대학원 박사과정

〈관심분야〉 블록 암호 및 스트림 암호 분석 및 설계, 블록 암호 운영모드 분석 및 설계

**성재철 (Jae-chul Sung) 정회원**

1997년 8월 : 고려대학교 수학과 학사

1999년 8월 : 고려대학교 수학과 석사

2002년 8월 : 고려대학교 수학과 박사

2002년 8월~2004년 1월 : 한국정보보호진흥원 선임연구원

2004년 2월~현재 : 서울시립대학교 수학과 전임 강사

〈관심분야〉 블록 암호 및 스트림 암호의 분석 및 설계, 해쉬 함수의 분석.

**이상진 (Sang-jin Lee) 종신회원**

1987년 2월 : 고려대학교 수학과 학사

1989년 2월 : 고려대학교 수학과 석사

1994년 2월 : 고려대학교 수학과 박사

1989년 2월~1999년 2월 : 한국전자통신연구원 선임 연구원.

1999년 2월~2001년 8월 : 고려대학교 자연과학대학 조교수.

2001년 9월~현재 : 고려대학교 정보보호대학원 부교수

〈관심분야〉 대칭키 암호의 분석 및 설계, 정보은닉이론, 컴퓨터 포렌식